

اصلاح خواص سطحی الاستومر برای بهبود سازگاری با سیستم‌های حیاتی توسط پیوند زنی لیزری مونومرهای NVP و HEMA، AAM؛^۱

۲- مونومرهای NVP و HEMA

Surface Modification of EPR as Biomaterial by Laser Induced Graft Copolymerization of AAm,
HEMA and NVP:II-HEMA and NVP

حیدر میرزاده^۱، علی اصغر کتاب^۲، محمد تقی خراسانی^۳، رابرت بر فورد^۴

۱ و ۳- مرکز تحقیقات پلیمر ایران، ۲- دانشکده مهندسی پلیمر، دانشگاه صنعتی امیرکبیر، ۴- دانشگاه نیو ساوت ولز استرالیا.

دریافت: ۷۲/۳/۱۰، پذیرش: ۷۲/۴/۱۷

چکیده

برای بهبود زیست سازگاری الاستومر غیرقطبی اتیلن - پروپیلن (EPR) وولکانیده، مونومرهای آبدوست ۲- هیدروکسی اتیل متاکریلات (NEMA) و - وینیل پروپیلون (NVP) بر روی سطح این الاستومر پیوند زده شدند. از پرتو لیزر ضربه‌ای کریں دیوکسید به عنوان منبع برانگیختگی استفاده شد. آثار آغازگرهای نوری مختلف و محلول آبی نمک مور (فروآمونیم سولفات) و همچنین فاصله زمانی بین ضربه‌ها و نیز تغییرات قدرت لیزر، در روی بازده پیوند خوردنگی مورد بررسی قرار گرفت. در این مقاله درباره واکنش پیوند خوردن و مشخصات فیزیکی نمونه‌های پیوند خورده بحث می‌شود.

سطح نمونه‌های اصلاح شده با روش‌های بازنگردگی کلی تضعیف شده زیر قرمز تبدیل فوریه (ATR-FTIR) و میکروسکوب الکترونی پوششی (SEM) و همچنین روش تعزیه انرژی نمکیکی پرتو ایکس (EDXA) مورد بررسی قرار گرفت. معلوم شد که آب سازگاری نمونه‌های اصلاح شده در مقایسه با نمونه‌های شاهد بهبود می‌یابد. تجزیه گرمایی مکانیکی - دینامیکی (DMTA) نمونه‌های اصلاح شده EPR نسبت به نمونه‌های اصلاح نشده تغییر قابل توجهی را در خواص مکانیکی آنها نشان نمی‌دهد. در این مقاله برای واکنش پیوند خوردن مونومرهای مذکور با لیزر به سطح EPR مکانیسم پیشنهاد کردند. ما اعتقد داریم که مولکولهای آغازگر نوری یا مونومرا برانگیخته می‌شوند و در حین یک فرایند برانگیختگی چند فوتونی زیر قرمز (IRMPE) پیوند مولکولهای برانگیخته شکته می‌شود. نمک مور، پیوند خوردن مونومر به وسیله پرتو لیزر را تشدید می‌کند.

پیوند خوردن توسط پرتو لیزر بدون منطقی کردن طول موج پرتو با حد اکثر جذب پیوند مونومر با آغازگر نوری ناممکن است. آغازگرهای نوری بنزوفون (BP) و آزویس ایزو بوتیرونیتریل (AZBN) می‌توانند بازده پیوند خوردنگی را افزایش دهند. معلوم شد که بهترین فرکانس فاصله زمانی بین ضربه‌ها برای افزایش بازده پیوند خوردنگی، $5/0$ هرتز است. پیوند خوردن HEMA روی سطح الاستومر EPR به وسیله پرتو لیزر ضربه‌ای کریں دیوکسید و در غلظت پایین HEMA نوعی مور فلوروزی ویژه با شکل فراکتال را روی سطح EPR تشکیل می‌دهد. تاکنون این نوع مور فلوروزی با پیوند خوردن NVP روی سطح الاستومر مشاهده نشده است.

واژه‌های کلیدی: اصلاح سطحی، لیزر ضربه‌ای

Key Words: surface modification, CO_2 pulsed laser, HEMA, NVP, EPR

مقدمه

می شود که در این طول موج الاستومر EPR جذبی ندارد و به همین علت در مدت پرتودهی پیوند خوردن تخریب نمی شود. به علاوه، اثر سیستمهای مختلف آغازگرهای نوری، غلظت مونومر، فاصله زمانی بین ضربهها و شدت پرتو لیزر روی بازده پیوند خورده‌گی برسی و سطح نمونه‌های اصلاح شده با روش‌های مختلف مطالعه شده است. در اینجا برسی پیوند زدن این مونومرها روی سطح الاستومر EPR به وسیله لیزر ضربه‌ای کریں دیوکسید برای نخشین بار گزارش می‌شود.

تجربی

مواد

NVP و HEMA (از شرکت الدریج) با عبور از یک ستون Al_2O_3 ، خالص سازی شدند. بتروفون و آزویس ایزو بوتیرونیتریل از شرکت سیاگایگی (Ciba Geigy) تهیه و به عنوان آغازگرهای نوری مصرف شدند. الاستومر EPR نوع ویستالون ۸۰۸ (Vistalon 808) با ۷۵٪ اتیلن و گرانروی مونی ۴۵ در 125°C ، به شکل وولکانیده مورد استفاده قرار گرفت [۲۱]. تراهیدروفوران (THF) و استون (Acetone) از شرکت مرک (Merck) تهیه شدند. برای جلوگیری از پلیمر شدن زودرس در حین تهیه محلول، از اثر نورهای بیرونی جلوگیری به عمل آمد. در طی پرتودهی، کاهش pH در حدود ۲/۰ بود، یعنی برای سیستم (HEMA) از ۴/۳ تا ۲/۲ و سیستم NVP از ۴/۳ تا ۴/۱ کاهش داشت. همچنین هیچ گونه تغییر دما در حین پرتودهی محلول مشاهده نشد.

روش پیوند زنی

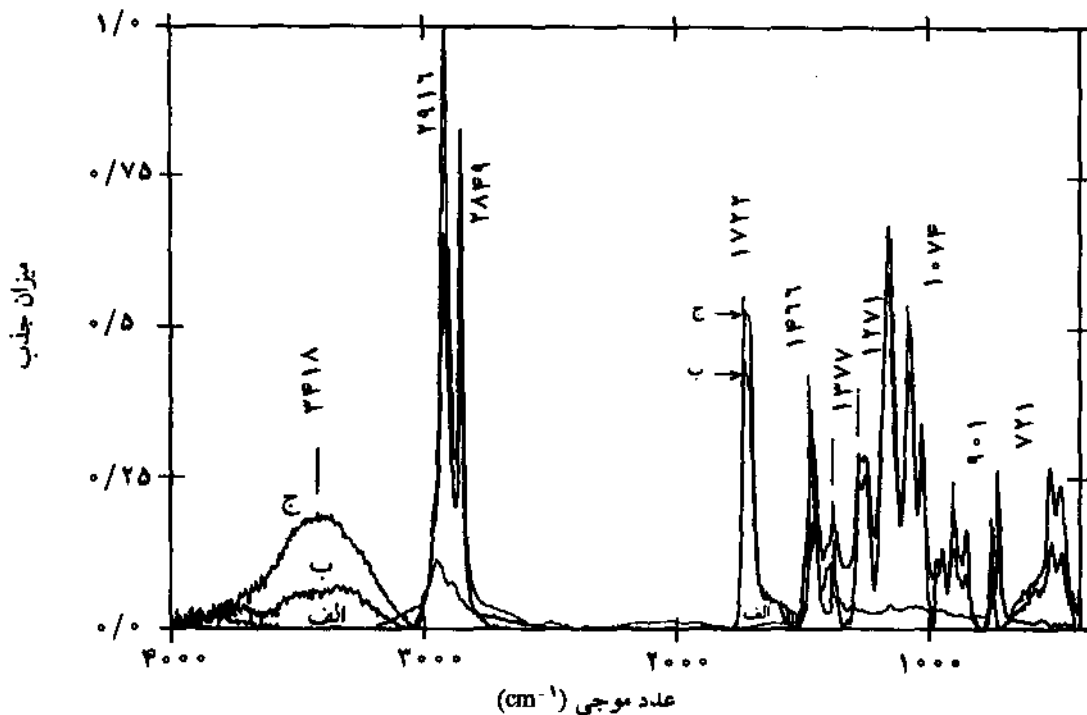
کوپلیمر کردن پیوندی NVP و HEMA و روی سطح EPR به وسیله لیزر ضربه‌ای کریں دیوکسید با تکینک ویژه‌ای انجام شد. طول موج پرتو در $6/\mu\text{m}$ تنظیم شد و قدرت آن بین $5-10 \text{ J/cm}^2$ بسته به فرکانس HEMA و NVP، سیستم آغازگر نوری BP/THF و استون/AZBN (استون و THF در طول موج $6/\mu\text{m}$ ۱۰ جذب ندارند) و نمونه الاستومر خشک پس از توزین به راکتور شیشه‌ای استوانه‌ای شکل از جنس پیرکس منتقل شد. نمونه‌های به طور افقی درون محلول قرار گرفتند و اکسیزن موجود در محلول با عبور گاز نیتروژن به مدت ۱۰ دقیقه تحیله شد. پرتودهی سیستم موجود توسط پرتو لیزر ضربه‌ای کریں دیوکسید (با استفاده از دستگاه ۲ - ۳۰۱ - Lumonics - TEA - laser) انجام گرفت. روش کار به این ترتیب بود که هر نمونه به طور جداگانه در شرایط

پلیمر کردن مونومرها و بینیلی با استفاده از انواع مختلف لیزر در سالهای اخیر گزارش شده است [۱۱-۱۱]. پلیمر کردن توسط لیزر چندین مزیت دارد که مهمترین آن امکان تنظیم پرتو لیزر روی یک طول موج خاص است. طول موجی که در آن پیوند ویژه‌ای از مونومر یا آغازگر نوری پیشترین جذب را دارد و این خود عامل شروع پلیمر شدن است و به این ترتیب در حین واکنش انرژی تلف نمی‌شود. برای ایمید کردن پلی آمید اسید از پرتو لیزر کریں دیوکسید به طور موقت آمیزی استفاده شده است. در اثر برخورد پرتو لیزر با گروههای انتهایی مولکول، حالت ارتعاش پیوند شدید می‌شود که عامل تفکیک در ایمید کردن است [۱۲].

۱۲. تفکیک چند فوتونی زیر قرمز (infrared multiphoton dissociation) مواد مختلفی مانند دی اتیل اتر (DEE)، ترکیب‌های تری نیتروالکان، اتیل و متیل استات گزارش شده است [۱۳-۱۵]. همچنین تفکیک چند فوتونی زیر قرمز نمونه اتیل و بینیل اتر (EVE) مورد مطالعه قرار گرفته است [۱۶]. معلوم شده است که مولکولهای برانگیخته توسط تفکیک چند فوتونی زیر قرمز، طول عمر کافی دارند و انرژی ارتعاشی بی نظم شدن قبل از تفکیک را مجاز می‌سازد. تفکیک مولکولهای سیکلوهگزن و ۱،۴-سیکلوهگزادی ان و همچنین هگزاده ایرو ۳،۵-۵ - تری نیترو ۱،۳،۵ - تری آزین (RDX) توسط فرایند تفکیک چند فوتونی با استفاده از لیزر کریں دیوکسید گزارش شده است [۱۷ و ۱۸]. به علاوه، فیلمهای پلی آمید در حضور هوا با تابش پرتو لیزر کریں دیوکسید حکاکی شده‌اند [۱۹]. چندین تجربه مشابه دیگر در مقاله‌ای با عنوان تفکیک چند فوتونی مولکولهای چندانتی، مرور شده است [۲۰].

کاربرد مقید لیزر ضربه‌ای کریں دیوکسید برای پلیمر کردن و پیوند زدن مونومرها و بینیلی مانند آکریل آمید (AAm) روی سطح الاستومر EPR در کارهای اخیر مولفان گزارش شده است [۲۱]. پلیمر NVP و HEMA به عنوان جاذب آب (هیدروژل) شناخته شده‌اند و خواص خوب زیست سازگاری و آبدوستی دارند [۲۲]. بهبود زیست سازگاری برای توازن نقاط آبدوست و آبزدا روی سطح نمونه ضروری است [۲۳ و ۲۴]. در هر حال، عیب این پلیمرها، ضعیف شدن خواص مکانیکی آنها پس از تورم در آب است. برای جبران این ضعف معمولاً مونومرها قطبی را روی سطح یک پلیمر بستر که خواص مکانیکی خوب دارد، پیوند می‌زنند [۲۵].

در این مقاله پیوند زدن مونومرها NVP و HEMA و سطح EPR گزارش می‌شود. این الاستومر خواص مکانیکی بسیار خوبی دارد و از نظر شبیه‌سی نیز یک ماده خنثی است. برای عمل پیوند زدن طول موج پرتو لیزر روی حداکثر جذب مونومر یا آغازگر نوری تنظیم



شکل ۱ - طیفهای بازتابندگی کلی تضعیف شده زیر قرمز تبدیل فوریه نمونه‌های EPR اصلاح شده با HEMA در حضور BP و در حلال به وسیله ضربه‌های لیزری با طول موج 1400 cm^{-1} و فرکانس 5 Hz : (الف) EPR اصلاح نشده، (ب) EPR پیوند شده با HEMA و (ج) هوموپلیمر HEMA

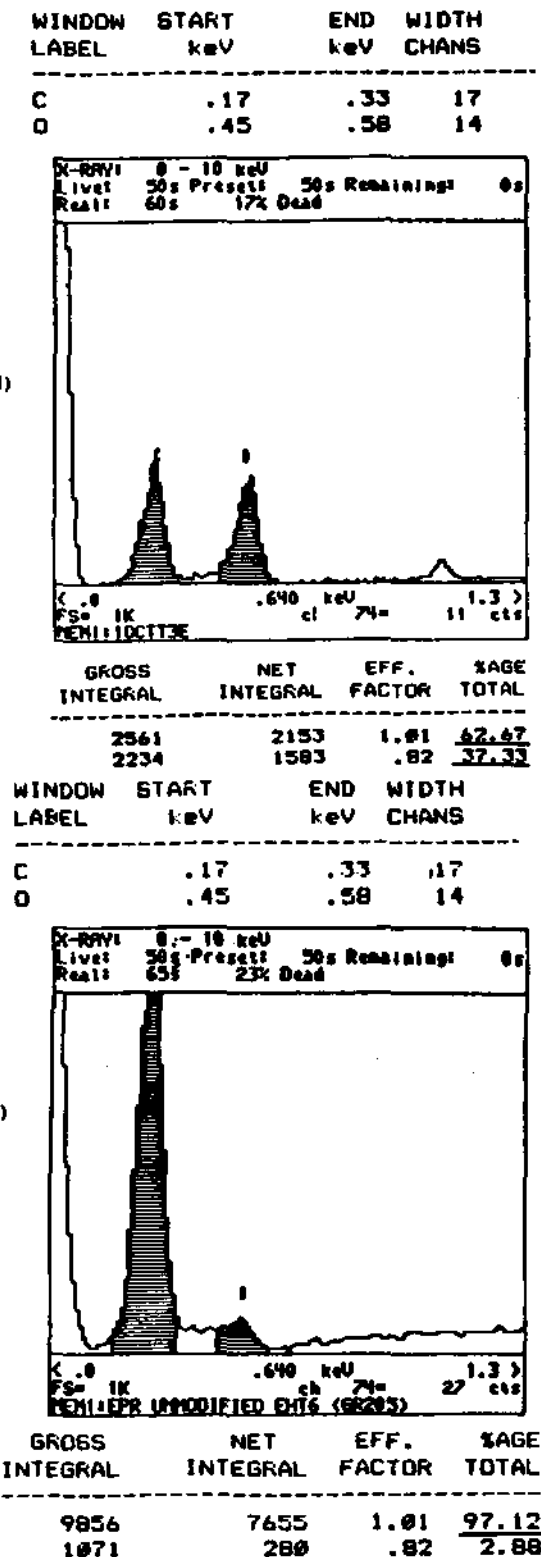
روش تجزیه خواص دینامیکی - مکانیکی نمونه‌های شاهد و اصلاح شده توسط دستگاه تجزیه گرمایی دینامیکی - مکانیکی، (Polymer Laboratories)، مقدارهای DMTA مقایسه و مطالعه شد. به این ترتیب که نمونه‌ها توسط دستگاه یادشده به شیوه خمی (bending mode) در فرکانس $1, 10, 20, 50, 100\text{ Hz}$ از دمای 100°C تا 50°C ارتعاش پیدا کردند. آن‌گاه، برای هر نمونه مدول ذخیره (storage modules) و ضریب انتلاف انرژی ($\delta = \tan \delta$) نسبت به دما ثبت شد.

روش‌های شناسایی سطح نمونه‌های اصلاح شده
الف - طیف نمونه‌ها به وسیله دستگاه ATR - FTIR (نوع Bruker - 88 - KRS-5) مجهز به سیستم تخلیه هوای کریستال 45° درجه در مقابل اشعه زیر قرمز قرار می‌گرفت به دست آمد. هر طیف با 50 cm^{-1} پویش تهیه شد.

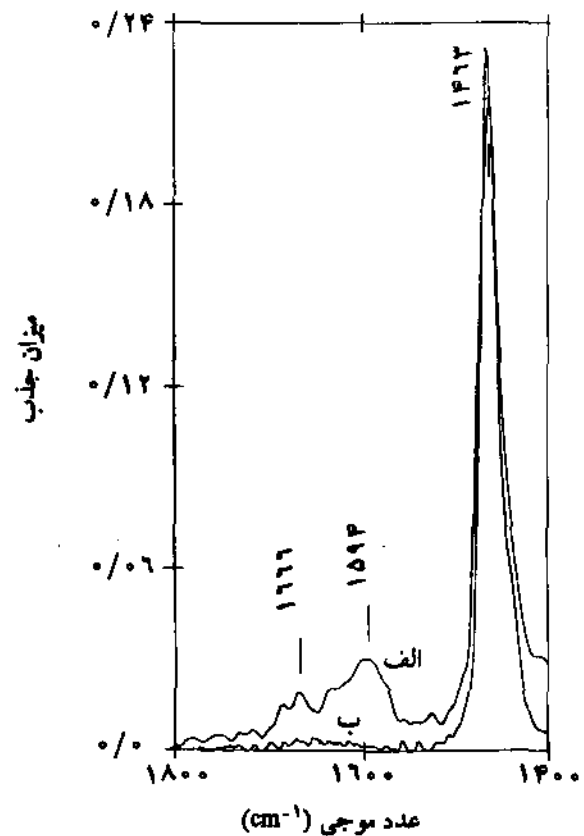
طول موج جذب در ناحیه 1712 cm^{-1} تا 1728 cm^{-1} مربوط به گروه استری پلیمر HEMA پیوند خورده و ناحیه 1585 cm^{-1} تا 1670 cm^{-1} مربوط به گروه آمیدی پلیمر NVP پیوند خورده روی

مشخص لیزر (شدت تابش و فاصله زمانی بین ضربه‌ها)، زمان معین پرتودهی (5 تا 10 دقیقه) و شرایط خاص محلول در معرض پرتو لیزر ضربه‌ای کردن دیکسید قرار می‌گرفت. نمونه‌ها با ابعاد $3\text{ cm} \times 1\text{ cm}$ و ضخامت 2 mm ، و متصل به یک نگهدارنده شیشه‌ای دایره‌ای شکل درون محلول قرار می‌گرفتند. بعد از پایان پرتودهی، نمونه‌ها از محلول خارج می‌شدند و سپس هوموپلیمر چسبیده به آنها به وسیله یک اسفنج نرم با محلول استون 50 g/l استون و آب پاک می‌شد. آن‌گاه، نمونه‌ها به مدت 2 ساعت در محلول استون و آب قرار می‌گرفتند تا شسته شوند و بعد با محلول استون و آب دوبار تقطیر شده (به نسبت حجمی $50/50$) در 80°C به مدت 72 ساعت عمل استخراج انجام می‌شد تا هوموپلیمر و مواد رسوب کرده روی نمونه‌ها پاک شوند. عمل خشک کردن نمونه‌های شسته شده در آون خلاه در دمای 50°C 5 تا 10 روزه به وزن ثابت انجام می‌گرفت.

بازده پیوند خورده‌گی با اندازه‌گیری نسبت وزن هیدروزول پیوند خورده به واحد سطح پلیمر اولیه به دست آمد [۲۶]. همچنین میزان جذب آب با روش ارائه شده در مراجع 21 و 26 اندازه‌گیری شد.



شکل ۳- تجزیه ارزی تفکیکی پرتو ایکس در نواحی آبدوست نمونه‌های EPR: (الف) اصلاح شده با HEMA در حضور BP حلal THF و در طول موج $10/\mu\text{m}$ و (ب) نمونه اصلاح نشده.



شکل ۲- طیفهای بازتابندگی کلی تضعیف شده زیر قرمز تبدیل فوریه نمونه‌های EPR اصلاح شده با NVP در حضور AZBN و در حلال استون به وسیله ضربه‌های لیزری با طول موج $10/\mu\text{m}$ و فرکانس $5/\text{Hz}$: (الف) بیوند شده با NVP و (ب) نمونه اصلاح نشده.

سطح EPR است.

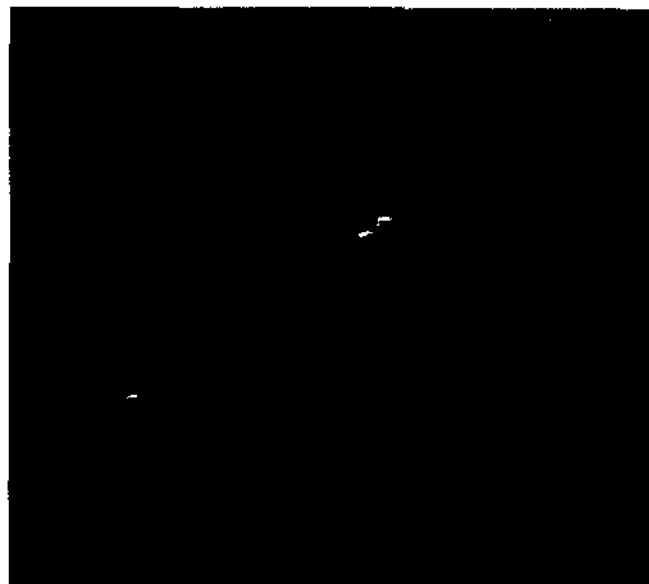
ب- مطالعات شکل شناسی سطح (morphology) به وسیله دستگاه میکروسکوپ الکترونی پویشی (SEM) انجام گرفت. سطح نمونه‌ها توسط پوشش دهنده پلارون اسپاتر (Polaron Sputter) با طلا پوشش داده شدند. برای مطالعه مورفوولوژی سطح از دستگاه SEM (نوع ۳۶۰ (Cambridge S) با ۱۰ کیلو ولت انرژی الکترون استفاده شد.

ج- از روش تجزیه ارزی تفکیکی پرتو ایکس، EDXA (Energy dispersive x-ray analysis)، برای تجزیه عنصر سطح و اندازه گیری عمق پیوند خوردگی و همچنین مطالعه یکواخنی سطح نمونه‌های اصلاح شده با HEMA و NVP استفاده شد. به این منظور از پنجره نازک برلیم (Be) و دستگاه EDXA (مدل ۱۰۰۰-AN) موجود روی سیستم SEM استفاده شد.

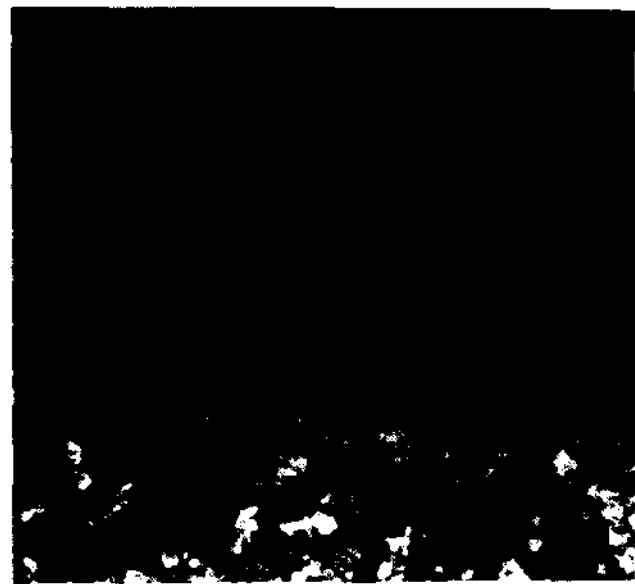
د- آب سازگاری نمونه‌های اصلاح شده با روش اندازه گیری زاویه



الف



ج

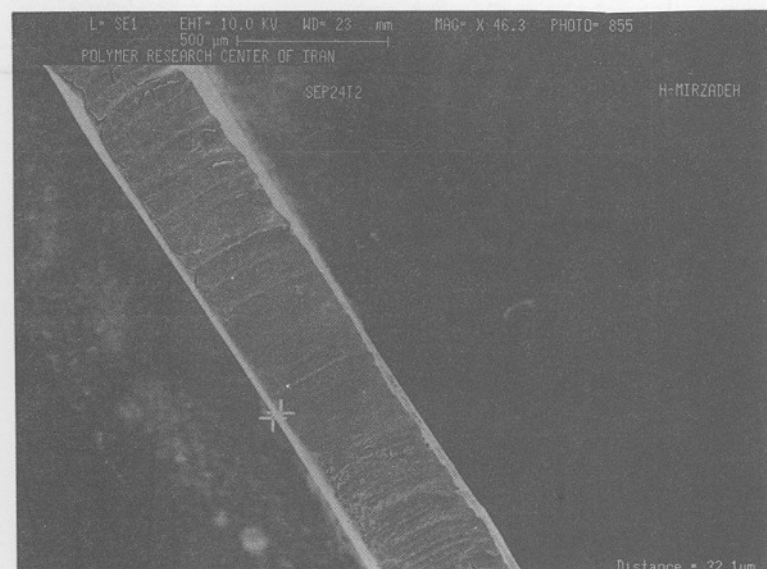


ب

شکل ۴ - تصویر میکروسکوپی الکترونی پویشی نمونه های EPR؛ (الف) نمونه EPR اصلاح شده با HEMA؛ (ب) نمونه EPR اصلاح شده با NVP و (ج) نمونه EPR اصلاح نشده.

نتایج و بحث
طیفهای ATR - FTIR نمونه های اصلاح شده EPR با HEMA و NVP در شکل های ۱ و ۲ نشان داده شده است. جذب در ناحیه 1722cm^{-1} و 1593cm^{-1} و 1666cm^{-1} به ترتیب مربوط به گروههای کربونیل و هیدروکسیل پلیمر HEMA و گروههای آمیدی

تماس قطره با سطح نمونه ها مورد بررسی قرار گرفت. به این منظور قطره های آب به وسیله میکروآمپول در سه نقطه مجزا روی سطح مستقر شدند و سپس با بزرگنمایی ۴۰ از آنها تصویربرداری شد. اعداد به دست آمده برای حداقل سه آزمایش برای نمونه یکسان میانگین گرفته شد.

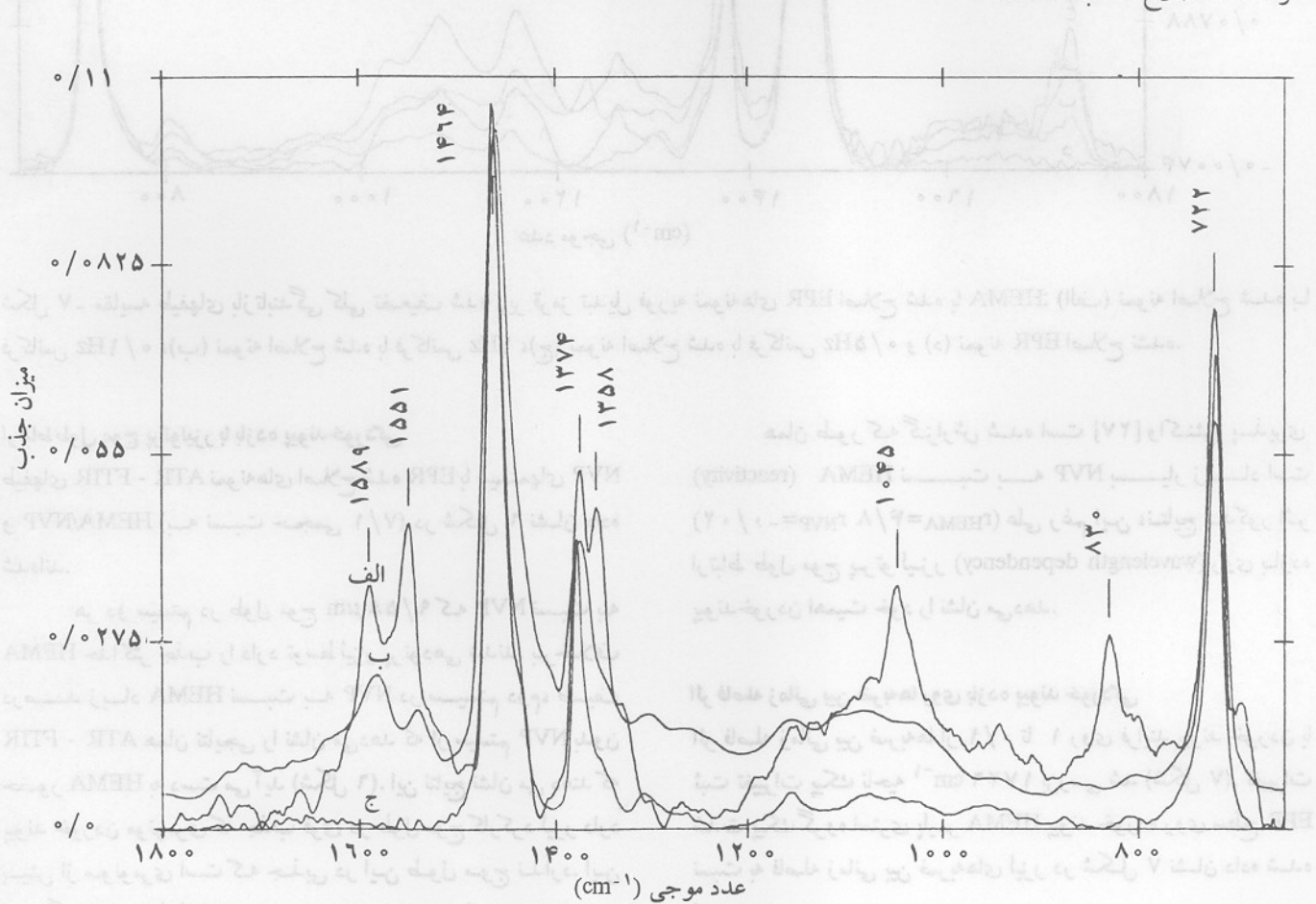


شکل ۵ - تصویر میکروسکوپی الکترونی پوششی نواحی آبدوست نمونه اصلاح شده با HEMA EPR اصلاح شده با HEMA (الف و ب).

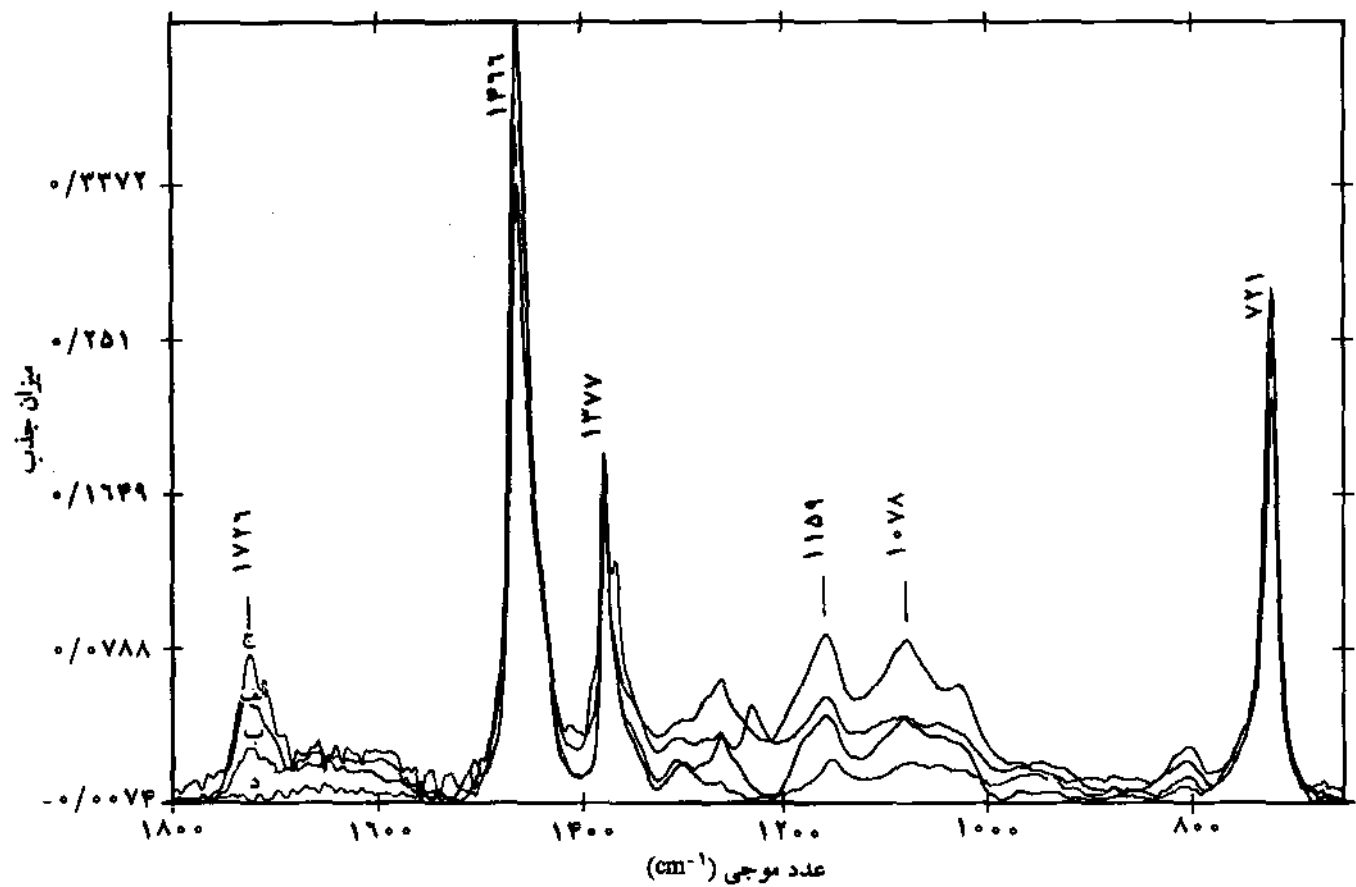
پلیمر NVP است. به علاوه، پیکهای مشخصه دیگری در طیف ظاهر شده است که در طیف نمونه شاهد وجود ندارند. این مشاهدات با نتایج حاصل از تجزیه نمونه‌ها با روش EDXA توافق دارند. زیرا، در صد اکسیژن سطح EPR اصلاح شده با HEMA در مقایسه با نمونه شاهد بیشتر است و تقریباً معادل با درصد اکسیژن پلیمر خالص HEMA است (شکل ۳، الف و ب).

تصویرهای میکروسکوپ الکترونی پوششی نمونه‌های EPR اصلاح شده با HEMA و NVP و همچنین نمونه شاهد در شکل ۴ (الف تا ج) نشان داده شده است. برای اندازه‌گیری عمق پیوند خوردنگی، یک برش مقطعی از نمونه اصلاح شده با HEMA تهیه و به وسیله SEM بررسی شد. عمق پیوند خوردنگی در نواحی آبدوست که محل پیوند خوردن هیدروژن است در حدود $17 \text{ }\mu\text{m}$ تا $23 \mu\text{m}$ است (شکل ۵).

متوسط عمق پیوند خوردنگی $10 \text{ }\mu\text{m}$ نمونه اصلاح شده دیگر در حدود $20 \mu\text{m}$ است.



شکل ۶ - مقایسه طیفهای بازتابندگی کلی تضعیف شده زیر قرمز تبدیل فوریه نمونه‌های EPR اصلاح شده: (الف) نمونه اصلاح شده با NVP در طول موج $5/8 \mu\text{m}$ ، (ب) نمونه اصلاح شده با سیستم HEMA/NVP با نسبت حجمی $1/7$ در طول موج $5/8 \mu\text{m}$ و (ج) نمونه EPR اصلاح نشده.



شکل ۷ - مقایسه طیفهای بازتابندگی کلی تصحیف شده زیر قمز تبدیل فوریه نمونه های EPR اصلاح شده با HEMA: (الف) نمونه اصلاح شده با فرکانس $1\text{Hz}/0$ ، (ب) نمونه اصلاح شده با فرکانس $1\text{Hz}/0$ ، (ج) نمونه اصلاح شده با فرکانس $5\text{Hz}/0$ و (د) نمونه EPR اصلاح نشده.

همان طور که گزارش شده است [۲۷] واکنش پذیری HEMA (reactivity) نسبت به NVP بسیار زیاد است ($r_{\text{HEMA}}=3/8$ و $r_{\text{NVP}}=-0/02$) علی رغم این، نتایج مذکور اثر ارتباط طول موج پرتو لیزر (wavelength dependency) روی بازده پیوند خوردن اهمیت خود را نشان می دهد.

الر فاصله زمانی بین ضربه هاروی بازده پیوند خوردن با اثر فاصله زمانی بین ضربه هاروی از $1/0$ تا 1 روی فرایند پیوند خوردن با ثبت تغییرات پیک ناحیه 1726 cm^{-1} بررسی شد (شکل ۷). تغییرات شدت پیک گروه استری پلیمر HEMA پیوند خورده روی سطح EPR نسبت به فاصله زمانی بین ضربه های لیزر در شکل ۷ نشان داده شده است.

به دلیل برداشت هیدروژن از مولکولهای EPR توسط رادیکال مولکولهای فعال موجود در سیستم پیوند زنی، کاهش جذب پیوند C-H

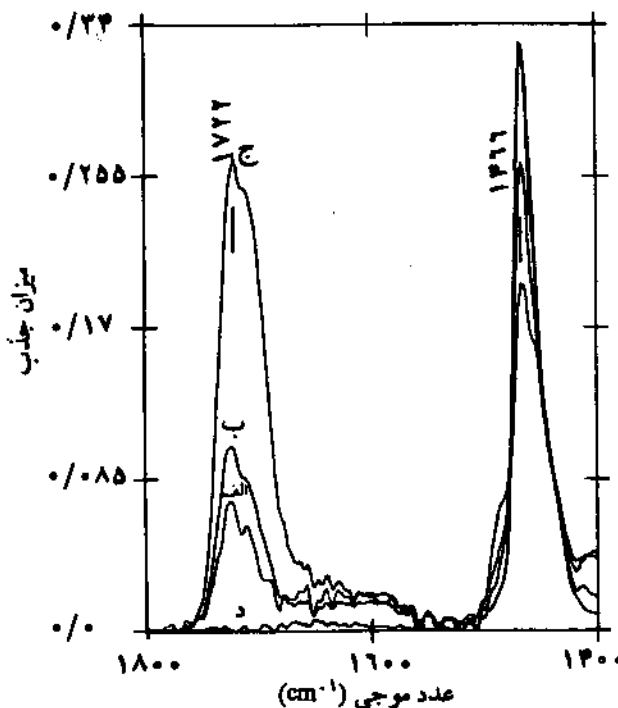
ارتباط طول موج پرتو لیزر با بازده پیوند خوردن طیفهای ATR - FTIR نمونه های اصلاح شده EPR با سیستمهای NVP و HEMA/NVP (به نسبت حجمی $1/7$) در شکل ۶ نشان داده شده اند.

هر دو سیستم در طول موج $9/58\mu\text{m}$ که NVP نسبت به HEMA حداقل جذب را دارد توسط لیزر پرتو دهی شدند. برخلاف درصد زیاد HEMA نسبت به NVP در سیستم دوم، طیف ATR - FTIR همان نتایجی را نشان می دهد که از سیستم NVP بدون حضور HEMA به دست می آید (شکل ۶). این نتایج نشان می دهند که پیوند خوردن مونومری که جذب قوی در طول موج کارکرد لیزر دارد بیش از مونومری است که جذبی در این طول موج ندارد. این نتیجه گیری (ارتباط طول موج به پیوند خوردن مونومر) در پیوند خوردن آکریل آمید روی سطح EPR توسط همین مولفان گزارش شده است [۲۱].

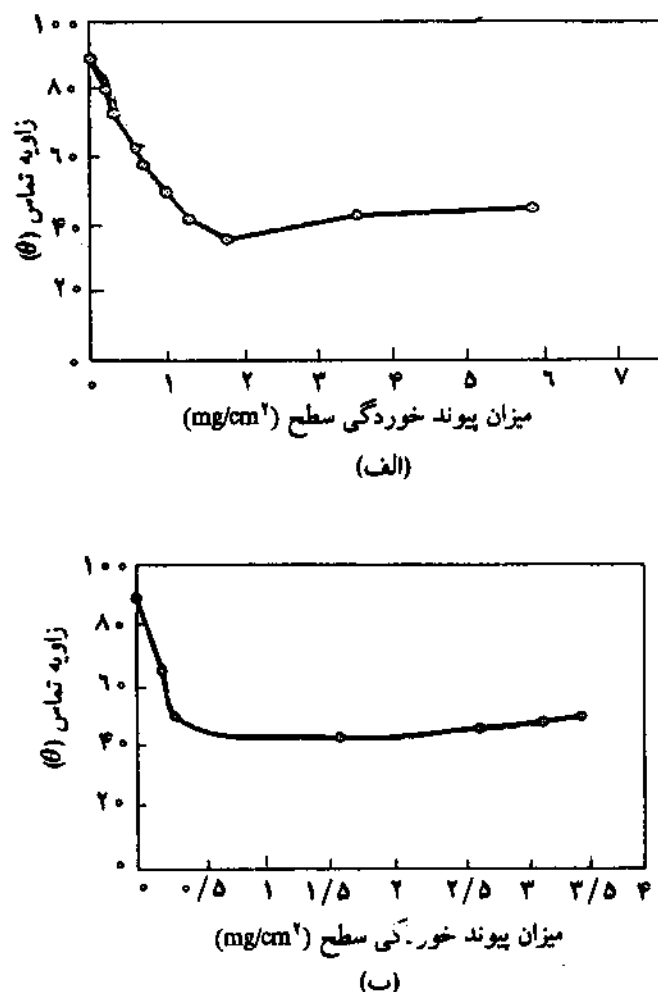
در شکل ۷ مشاهده می‌شود، شدت پیک نمونه‌ای که در فرکانس 5Hz ضربه لیزر دیده برجسته است و اثر فرکانس مغاید ضربه لیزر را روی بازده پیوند خوردگی نشان می‌دهد. افزایش فرکانس ضربه لیزر از $1/10\text{Hz}$ تا 5Hz ، افزایش مقدار پیوند خوردگی را به دنبال دارد و در نتیجه شدت پیک ATR - FTIR آن بیشتر است. کاهش بازده پیوند خوردگی در $1/10\text{Hz}$ در مقایسه 5Hz ، ناشی از کاهش فاصله زمانی بین ضربه‌های پرتو لیزر و در نتیجه کاهش سرعت مرحله آغازی واکنش است. با وجود این مشاهده می‌شود که فرکانس ضربه‌های لیزر بازده پیوند خوردگی یک رابطه خطی ندارد. کاهش بازده پیوند خوردگی در بالاتر از 5Hz به سرعت زیاد ترکیب رادیکالهای مرحله انتشار نسبت داده می‌شود که به وسیله رادیکالهای آغازگر جدید انجام می‌شود [۹]. این نتیجه گیری برای پیوند زدن آکریل آمید (AAm) روی سطح EPR به وسیله لیزر ضربه‌ای کریں دیوکسید هم به دست آمده است [۲۹].

آبدوستی نمونه‌های اصلاح شده

آبدوستی نمونه‌های EPR اصلاح شده با HEMA با افزایش پیوند



شکل ۹ - مقایسه طیفهای بازتابندگی کلی تضعیف شده زیر قمز تبدیل فوریه نمونه‌های EPR اصلاح شده با HEMA در طول موج $10/\mu\text{m}$ و $58/\mu\text{m}$ (جذب HEMA) و قدرت لیزری: (الف) $1/10\text{J/cm}^2$ ، (ب) $1/5\text{J/cm}^2$ ، (ج) 5J/cm^2 و (د) نمونه EPR اصلاح نشده.



شکل ۸ - تغییرات زاویه تماس نسبت به بازده پیوند برای نمونه‌های EPR اصلاح شده با: (الف) NVP، (ب) HEMA به وسیله ضربه‌های لیزری با طول موجهای به ترتیب $10/\mu\text{m}$ و $58/\mu\text{m}$ و با فرکانس 5Hz و قدرت لیزری 5J/cm^2 .

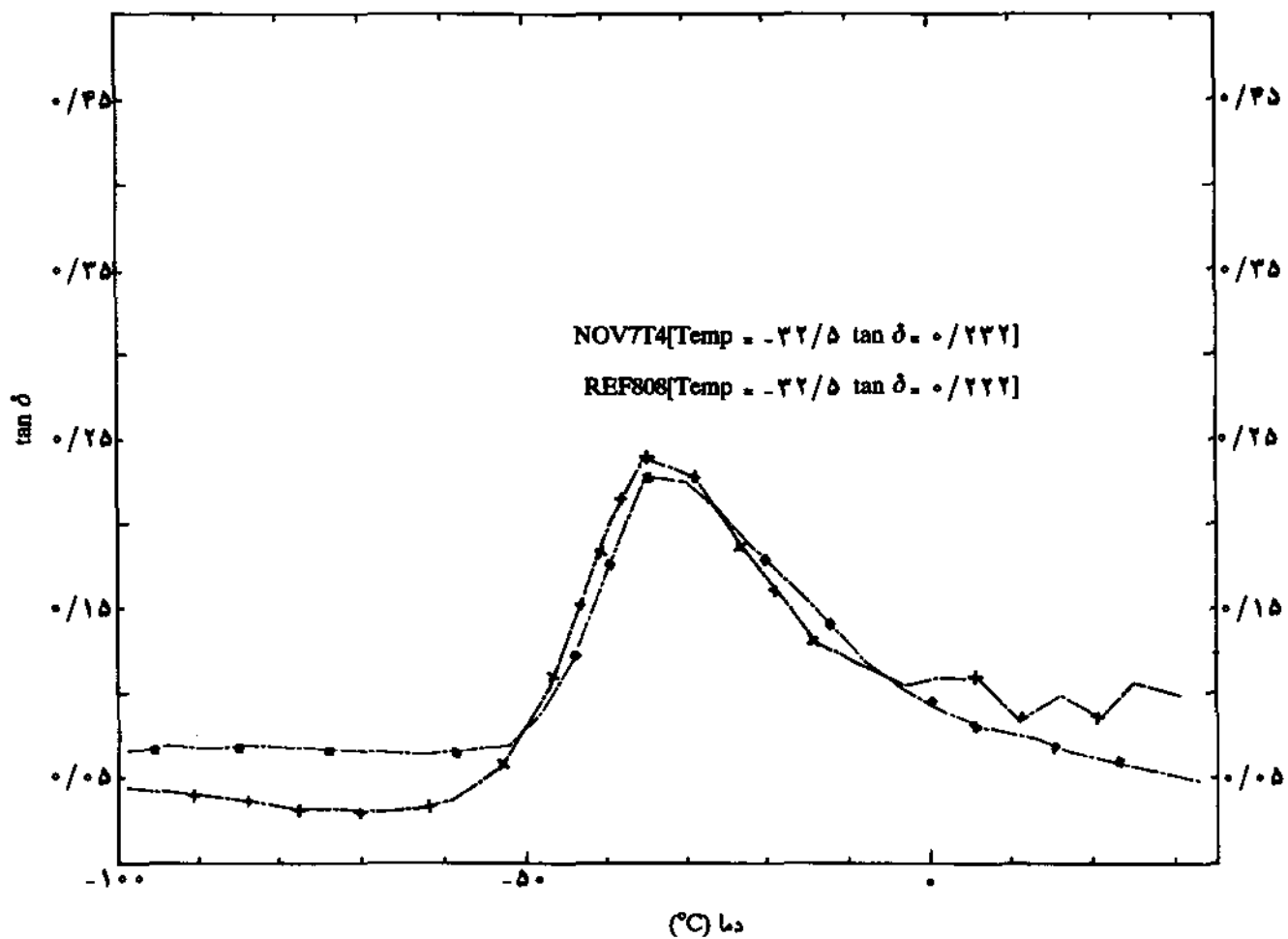
در ناحیه 1466cm^{-1} و 1721cm^{-1} مشاهده می‌شود. در فاصله زمانی بین ضربه‌های پرتو لیزر، رادیکالهای آغازگر تولید می‌شوند (مدت زمان ضربه در حدود $10^{-9}\text{sec} \times 100$ است). بخشی از این رادیکالها مرحله انتشار واکنش را به وجود می‌آورند، در حالی که بخشی دیگر در اثر ترکیب با یکدیگر یا با رادیکالهای مرحله انتشار واکنش‌ای پایان را سبب می‌شوند. با شروع ضربه جدید و تشکیل رادیکالهای جدید و افزایش ترکیب رادیکالها با یکدیگر، جمعیت رادیکالهای زنده کاهش می‌یابد. درجه انتشار (پلا) رادیکالهایی که در این فاصله زمانی ترکیب می‌شوند مقدار معینی است که به سرعت تکرار ضربه‌های پرتو لیزر، غلفت موئومر و ضربه سرعت انتشار (K_p) بستگی دارد [۲۸] همان طور که

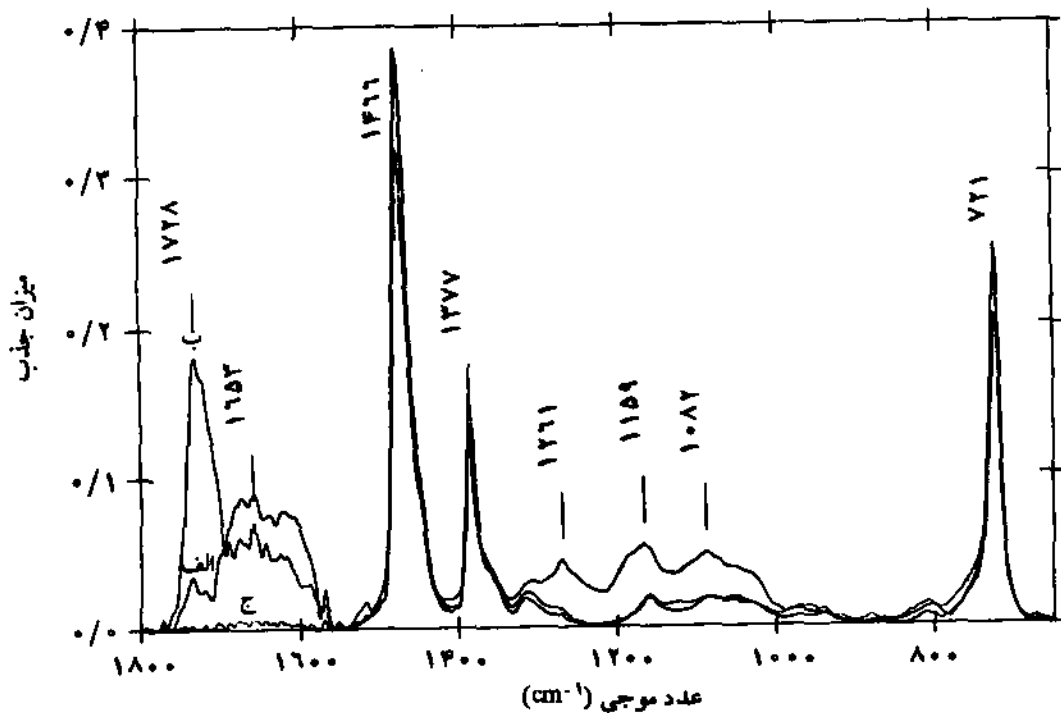
جدول ۱ - مقایسه بازده پیوند و آبدوستی نمونه‌های EPR اصلاح شده با HEMA و NVP با نمونه EPR اصلاح نشده.

نوع نمونه	کمیت (mg/cm ³)	نمونه اصلاح شده			نمونه اصلاح نشده		
		EPR	AZBN	در حضور EPR	پیوند خورده با NVP	HEMA	در حضور BP
درصد آب جذب شده	۰/۱۹	۴۲	۴۳	۴۵	۴۶	۴۷	۴۸
زاویه تماس(θ)	۸۹	۴۱	۴۲	۴۶	۴۷	۴۸	۴۹
بازده پیوند خوردنگی	۰	۰/۸	۰/۸	۱/۸	۱/۸	۱/۸	۱/۸

است.

خوردگی پلیمر HEMA افزایش می‌یابد (جدول ۱). اندازه زاویه تماس قطره با سطح EPR و درصد آب جذب شده و همچنین بازده پیوندخوردنگی، در جدول مذکور نشان داده شده است. از داده‌های جدول ۱ و شکل ۸ (الف و ب) و همچنین شکل‌های ۱ تا ۳ معلوم می‌شود که پیوندخوردنگی سطح باعث تغییر آبدوستی نمونه‌ها شده و شیوه سطح نمونه EPR آبزد را نیز تغییر می‌دهد. اعداد نشان داده شده در جدول متوسط اندازه گیری ۳ بار آزمایش برای نمونه‌های یکسان

شکل ۱۰ - تغییرات $\tan \delta$ (مدول از دست رفته) نسبت به دما: (*) نمونه اصلاح شده با HEMA و (**) نمونه EPR اصلاح نشده.



شکل ۱۱ - مقایسه طیفهای بازتابندگی کلی تضعیف شده زیر قرمز تبدیل فوریه نمونه‌های EPR اصلاح شده با $10 \mu\text{m}$ HEMA در طول موج $10 / 6 \mu\text{m}$: (الف) نمونه اصلاح شده با HEMA بدون نمک مور، (ب) نمونه اصلاح شده با HEMA در حضور نمک مور 0.005M و (ج) نمونه EPR اصلاح شده.

اصلاح شده توسط لیزر ضربه‌ای تغیری نکرده است.

قدرت لیزر بدون افزایش غلظت مونومر نسبت به افزایش درجه پیوند خوردگی نمونه‌ها اقدام نمود.

الونمکهای فلزی

محلولهای HEMA و پلیمر HEMA در pH حدود $2 / 4$ در آب غیریونی می‌باشند. با وجود این، در محلولهای الکلی این دو ترکیب به علت تشکیل پیوند هیدروژنی بین مولکولی، مولکولها تمایل زیادی به تجمع دارند، به طوری که تشکیل اجتماع مولکولی به صورت دیمر و غیره را می‌دهند. به نظر می‌رسد که این اثر عامل افزایش ضربه سرعت مرحله انتشار (k_{p}) است. به همین دلیل افزایش یونهای فلزی مانند Fe^{++} و Cu^{++} به سیستم پیوندزنی، سرعت هموپلیرشدن را کاهش می‌دهد و باعث افزایش بازده پیوند خوردگی می‌شود [۳۰].

طیفهای ATR - FTIR نمونه شاهد و نمونه اصلاح شده‌ای که در حضور نمک مور (Mohr's salt) (فروآمونیم سولفات) 0.005M پیوند خوردگه است در شکل ۱۱ نشان داده شده است. پیک ناحیه 1728cm^{-1} افزایش بازده پیوند خوردگی را در حضور این نمک نشان می‌دهد. مکانیسم عمل اثر نمک به این صورت پیشنهاد شده است که یونهای فلزی به علت داشتن اوربیتالهای ℓ پرنشده می‌توانند الکترونها را

افزایش دینامیکی - مکانیکی EPR نقطه ضعف سیستمهای پرتودهی پرازوری مانند گاما و پرتو الکترونی (EB) به عنوان منبع برانگیختگی برای پیوند زدن پیوندی سطح پلیمرها، تغییر خواص مکانیکی پلیمر بستر است. در حالیکه با استفاده از لیزر ضربه‌ای کردن دیوکسید و تنظیم طول موج پرتو در حداقل جذب مونومر یا آغازگر نوری و حداقل جذب پلیمر بستر، این ضعف را برطرف کرد به این منظور نمونه‌های EPR اصلاح شده به وسیله لیزر ضربه‌ای کردن دیوکسید با روش DMTA مورد آزمایش قرار گرفت. تغییرات ($\tan \delta$) نسبت به افزایش دما برای نمونه‌های اصلاح شده EPR با HEMA در شکل ۱۱ مقایسه شده‌اند. روشن است که دمای پیکهای ($\tan \delta$) نمونه‌های EPR و شاهد یکسان است. از این رو، دمای انتقال شیشه‌ای (T_g) این دو نمونه یکسان است. چون تغییرات ($\tan \delta$) بیان کننده رفتار خنیدگی مکانیکی الاستomer است. می‌توان نتیجه گرفت که بدليل عدم تغییرات پارامترهای مذکور خواص مکانیکی بستر نمونه

که پس از شکستن پیوند، پلیمرشدن نوری انجام می‌شود. به عبارت دیگر، برخورد شدید پرتو لیزر با مولکولهای ویژه در فرکانسی خاص که انتخابی است عامل تفکیک پیوند در آنها می‌شود زیرا، به طور موثر دهها فوتون به مولکولها برخورد می‌کند و جذب آنها می‌شود. این مکانیسم یک برانگیختگی پاشنده (dispersive) است [۲۰].

در پایینترین ناحیه، مولکولها از سطح انرژی چرخشی - ارتعاشی با جذب انرژی تشدیدگر وابسته به شدت (Intensity-dependent resonant)

ارتعاش حالت پایه افزایش می‌یابد و انرژی لازم برای بی نظم شدن به دست می‌آید. در این شبه پیوستار (quasi-continuum) مولکولها با برانگیختگی مرحله به مرحله ناهمدوس (incoherent) به سطح انرژی بالا و بالاتر ارتقا می‌یابند. وقتی انرژی مولکول به بالاتر از سد تفکیک اتمها برسد، تغزیب مولکول و ارتقای انرژی مولکول به سطح بالاتر با هم رقبابت می‌کند [۱۵].

ما اعتقاد داریم پلیمر شدن HEMA و NVP به وسیله لیزر ضربه‌ای کریں دیوکسید با مکانیسم IRMPD انجام می‌شود. نمودار واکنش پیوند زدن HEMA و NVP روی سطح EPR مشابه مکانیسم AAm در مقاله قبلی نشان داده شده است [۲۱].

نتیجه‌گیری

با توجه به نتایج به دست آمده مشخص می‌شود که پیوند زدن HEMA و NVP روی سطح EPR به وسیله لیزر ضربه‌ای کریں دیوکسید در حضور یونهای فلزی و آغازگرهای نوری نظیر سیستم BP/THF و AZBN/Acetone یا بدون آنها بازده بالایی دارد. این روش به ویژه برای تهیه نمونه‌های اصلاح شده زیست سازگاری با نواحی آبدوست و آبزدا، مناسب است. به طور کلی، نتایج به دست آمده به این قرارند: ۱ - NVP، HEMA با استفاده از پرتو لیزر ضربه‌ای کریں دیوکسید به عنوان منبع برانگیختگی روی سطح EPR پیوند می‌خورند. به شرط اینکه طول موج لیزر با ماکسیمم جذب HEMA یا NVP مطابق و تنظیم شود.

۲ - یون آهن Fe^{++} با غلظت $M = 0.005$ با کاهش سرعت هومولیمر شدن به طور قابل توجهی بازده پیوند خوردنگی را روی سطح EPR افزایش می‌دهد.

۳ - مورفوولوژی سطح نمونه‌های اصلاح شده را می‌توان با تغییر پارامترهای لیزر و سیستم آغازگر نوری و همچنین غلظت یون فلز کنترل کرد.

۴ - با افزودن آکریلاتهای چند عاملی مانند TMPTA به سیستم پیوندزنی، بازده پیوند خوردنگی افزایش می‌یابد.

علوم کنولوپیک سال هفتم، شماره سوم

از رادیکالهای مرحله انتشار دریافت کنند و زنجیر پلیمر را پایان دهند [۲۱]. در نتیجه، همو پلیمرشدن در محلول نسبتاً "کند می‌شود. در صورتی که نزدیک سطح پلیمر بستر که عمل پیوند خوردن در آنجا انجام می‌شود تأثیر یونهای فلزی کم می‌شود. البته نسک مور هم همو پلیمر شدن و هم عمل پیوند زدن HEMA را کاهش می‌دهد ولی اثر آن روی کاهش همو پلیمر شدن شدیدتر است.

مطالعه مورفوولوژی سطح

پلیمرشدن HEMA سریع است و در نتیجه مولکولهای آن به سرعت مجتمع می‌شوند. همچنین تشکیل پیوند هیدروژنی بین مولکولی نیز در جهت یابی تشکیل پلیمر موثر است [۲۸]. این نتیجه گیری برای پلیمرشدن AAm هم گزارش شده است [۲۱] از این رو، نتیجه پیوند خوردنگی آکریل آمید و HEMA توسط پرتو لیزر ضربه‌ای کریں دیوکسید تشکیل فرآکتال توسط زنجیرهای این پلیمرها روی سطح EPR است (شکل ۴ الف). با افزایش غلظت AAm و HEMA و شکل ۴ الف) جویمتر می‌شوند که این اثر نیز به خاصیت تجمع یابنیری (associative) پلیمرهای HEMA و AAm نسبت داده می‌شود (شکل ۴ ب). با پیوند زدن مونومر NVP روی سطح EPR این نوع مورفوولوژی مشاهده نشد (شکل ۴ ب).

با پیوند زدن HEMA یا AAm روی سطح EPR و تشکیل فرآکتالهای حاصل از آنها، نقاط آبدوست روی سطح EPR آبزدا به وجود می‌آید. شکل و اندازه این فرآکتالها را می‌توان با تغییر پارامترهای لیزر و همچنین غلظت مونومرها کنترل کرد و از این رو، می‌توان نسبت سطح آبدوست به آبزدا را تغییر داد.

وجود نواحی قطبی و غیرقطبی روی سطح پلیمر نقش مهمی را در میزان زیست سازگاری پلیمر ایفا می‌کند [۲۲ و ۲۴]. همان طور که در شکل ۴ الف نشان داده شده است، سطح نمونه‌های اصلاح شده با HEMA دارای نواحی آبدوست و آبزداست و از این رو، زیست سازگاری آنها را می‌توان بهینه کرد. پژوهش در زمینه بهینه سازی زیست سازگاری EPR انجام شده که مقالات آن زیر چاپ است.

مکانیسم تفکیک چند فوتونی زیر قوه
چنانچه از ریز پرتو لیزر IR در یک طول موج خاص منطبق بر سطح ارزی ارتعاشی پیوندی ویژه در یک مولکول باشد، به علت جذب پرتو و تشدید ارتعاش، پیوند مورد نظر شکسته شده و در فرایند پلیمرشدن شرکت می‌کند. یکی از بهترین روشها در واکنشهای شیمیایی انتخابی در سیستمهای محلول، ایجاد برهم کش و تشدید (resonance) بین پرتو لیزر IR و حالت ارتعاش گروههای موجود در مولکول است

- 11 R.K. Sadhir and J.D.B. Smith, *J. Poly. Sci. A: Polymer Chemistry* **30** (1992) 589.
- 12 S.G. Il'yasov, N. Kalvina, G.A. Kyulyan, V.F. Moskalenko and E.P. Ostapchenko, *Sov. J. Quant. Electron.* **4** (1975) (10) 1287.
- 13 L.J. Butler, R.J. Buss, R.J. Brudzynski and Y.T. Lee, *J.Phys.Chem.* **87** (1983) (25) 5106.
- 14 A.M. Wodtke, E.J. Hintsa and Y.T. Lee, *J.Phys. Chem.* **90** (1986) 3549.
- 15 E.J. Hintsa, A.M. Wodtke and Y.T. Lee, *J.Phys. Chem.* **92** (1986) 5379.
- 16 F. Huisken, D. Krajnovich, Z. Zhang, Y.R. Shen and Y.T. Lee, *J.Phys.Chem.* **78** (1983) 3806.
- 17 X. Zhao, R.E. Continetti, A. Yokoyama, E.J. Hintsa and Y.T. Lee, *J.Phys.Chem.* **91** (1989) 4118.
- 18 X. Zhao, E.J. Hintsa and Y.T. Lee, *J.Chem. Phys.* **88** (1988) (2) 801.
- 19 J.H. Brannon and J.R. Lankard, *Appl. Phys. Lett.* **48** (1986) (18) 1226.
- 20 P.A. Schulz, A.S. Sudbo, D.J. Krajnovich, H.S. Kwok, Y.R. Shen and Y.T. Lee, *Ann. Rev. Phys. Chem.* **30** (1979) 379.
- 21 - حمید میرزاده، علی اصغر کتاب، رایبرت برگورد "اصلاح خواص سطحی الاستومر EPR برای بهبود سازگاری با سیستم‌های حیاتی NVP, AAm, HEMA توسط پیوندنزی لیزری مونومرهای آ-مونومر آکریل آمید (AAM)، مجله علوم و تکنولوژی پلیمر، سال ششم، شماره اول، اردیبهشت ۱۳۷۲، علمی و پژوهشی .
- 22 B.D. Ratner and A.S. Hoffman, "Synthetic Hydrogels for Biomedical Applications" Andrade J.D., ed., ACS Symposium Series, **31** (1976) 1.
- 23 B.D. Ratner and A.S. Hoffman, S.R. Hanson, L.A. Harker, J.D. Whiffen, *J. Polym. Sci. Polymer symposium* **66** (1979) 363.
- 24 F.H. Royce, B.D. Ratner and T.A. Horbett, "Biomaterials: Interfacial Phenomena and Applications" Cooper S.L and Peppas N.A. ed., ACS Symposium Series **199** (1982) 453.
- 25 A.S. Hoffman, *Radiat. Phys. Chem.* **9** (1977) 207.

- ۵- خواص مکانیکی الاستومر EPR بعد از پیوندنزدن HEMA و NVP روی سطح آن به وسیله پرتو لیزر تغییر نمی‌کند، همان طور که در نمودار DMTA نشان داده شده است.
- ۶- پیوند زدن HEMA روی سطح EPR به وسیله پرتو لیزر ضربه ای کردن دیوکسید، موجب تشکیل فراکتالها روی سطح می‌شود. اشاره می‌شود که این نوع سورفولوژی روی سطح EPR پیوند خورده با مونومر NVP مشاهده نشد.
- ۷- زاویه تماس قطره آب با سطح نمونه اصلاح شده در مقایسه با نمونه شاهد کوچکتر است. که نشان دهنده آبدوستی بیشتر نمونه اصلاح شده با لیزر می‌باشد.
- ۸- پیوند زدن HEMA و NVP به وسیله پرتو لیزر ضربه ای کردن دیوکسید به مقدار زیادی به طول موج پرتو بستگی دارد (wavelength dependency).
- ۹- مولکولهای HEMA و NVP یا آغازگرهای نوری مانند BP و AZBN از راه مکانیسم تفکیک چندفوتنی IR (IRMPPE) برانگیخته می‌شوند.
- قدرتانی: بدینوسیله از همکاریهای خانم مهندس شکرالهی و آقای مهندس سلطانمرادی تشكیر و قدردانی می‌شود.

مراجع

- 1 G.E. Frigerio and A. Stefanini, *Lettore Al Nuovo Cimento* **2** (1971)(15) 810.
- 2 D.J. Lougnot and J.P. Fouassier, *Makrom. Chem., Rapid Commun.* **4** (1983) 11.
- 3 C. Decker, *J. Coat Tech.* **56** (1984) 29.
- 4 R.K. Sadhir, G.D.B. Smith, and P.M. Castle, *J. Polym. Sci. Polym. Chem.* **23** (1985) 411.
- 5 C. Decker and K. Moussa, *Radiation Curing of Polymeric Materials*, John Wiley N.Y. (1990) 439.
- 6 O. Olaj and I. Bitai, *Macromol. Chem. Rapid Commun.* **9** (1988) 275 .
- 7 W. Kesting, D. Knittel and E. Schollmeyer, *Angew. Makromol. Chem.* **182** (1990) 177.
- 8 C. Decker and A.D. Jenkins, *Macromolecules*, **18** (1985) 1241.
- 9 C.E. Hoyle, C.H. Chang and M.A. Trapp, *Macromolecules* **22** (1989) 3607.
- 10 J.P. Fouassier and S.K. Wu, *J. Appl. Polym. Sci.* **44** (1992) 1779.

- 26 A.A. Katbab, R.P. Burford, J.L. Garnett, Radiat. Phys. Chem. **39** (1992)(3) 293.
- 27 H. Mirzadeh, A.A. Katbab, R.P. Burford, Radiat. Phys. Chem. special issue of 8th IMRP **42** (1993)(1-3)53.
- 28 P. Pascal, D.H. Napper, R.G. Gilbert, M.C. Piton and M.A. Winnik, Macromolecules **23** (1990) 5161.
- 29 E. Collinson, F. Dainton, D. Simith, G. Trudel and S. Tazuke, Discuss. Faraday Soc. **29** 188 (1960).

Jesse H.Day

جس هارولد دی

جس هارولد دی، در بند اورگان متولد شد. وی پس از فارغ التحصیلی از دیبرستان جفرسون، در کالج رید ثبت نام کرد و در سال ۱۹۴۲ مدرک لیسانس خود را از آنجا دریافت کرد. جس برای ادامه تحصیل در مدرسه علوم کاربردی کسه (case) ثبت نام کرد و در آنجا روی پلیمری شدن امولسیونی وینیل کلرید تحقیق کرد. وی درجه دکترای خود را در سال ۱۹۴۸ دریافت کرد.

جس در سال ۱۹۴۸ سمت استادیاری شیمی دانشگاه اوهایو را پذیرفت و در ۱۹۸۵ به عنوان استاد تمام وقت بازنشسته شد. وی همچنین به عنوان رئیس گروه (۱۹۵۸-۶۲)، دانشیار و معاون کالج علوم و هنرهای (۱۹۶۲-۷۱) و استاد میهمان در دانشگاه آیدaho (۱۹۶۴) خدمت کرد.

جس از دوران دیبرستان به شیمی علاقه مند شد. وی شغل تمام عیار را شغلی تعریف می کرد که شخص حتی اگر یک میلیون دلار هم داشته باشد همان شغل را ادامه دهد و او یک شغل تمام عیار را برای حدود نیم قرن به عهده داشت و اینک مانند بسیاری از شیمیدانان بدون اینک آزمایشگاهی داشته باشد، به عنوان یک تاریخ نویس خدمت می کند. وی تاریخچه‌ای طولانی از انجمن مهندسان پلاستیک (SPE) و دیبرستان جفرسون نوشته است. وی از محدود کسانی است که بیش از دو مقاله مروری برای مجلات مروری شیمی نوشته است.

جس دی به اتفاق ال اس شاو و پاول رید ویرایش و چاپ بولتن اخبار SPE را که در سال ۱۹۴۵ به SPE News تغییر نام یافت به عهده داشت. در حال حاضر نام این مجله Plastics Engineering است که هزاران عضو انجمن مهندسان پلاستیک ماهانه آن را دریافت می دارند. دی تا سال ۱۹۵۹ با همکاری بس جانسون با عنوان دیبرستان جسون با عنوان دیبرستان دیجیتال اجرایی به ویراستاری ادامه داد.

بدیهی است که همزمان با تدریس تمام وقت ویراستاری مجله طی روزهای اولیه تشکیل SPE، که با همکاری همسرش انجام می شد، کار ساده‌ای نبود. بسی جانسون همراه با آدمیرال هیمان ریکاور و چند تن دیگر عضو افتخاری SPE بودند که دی عضو بر جسته این انجمن نام گرفت. اسامی سایر پیشگامان پلاستیک هری دوبوا، گوردون کلین، و چارلز ویندینگ بود.

جس هارولد دی، علاوه بر اینکه عضو بر جسته انجمن مهندسان پلاستیک بود، عضویت انجمن شیمی آمریکا، فرنگستان علوم اوهایو و انجمن استادان دانشگاه‌های آمریکا و چند مؤسسه علمی دیگر را به عهده داشت.

جس هارولد دی به ورزش، مهندسی، عکاسی، شجره نویسی و موسیقی علاقه داشت که نشان دهنده ابعاد گسترده شخصیت وی به عنوان یک دانشمند علوم پلیمر است.

Polymer News, Vol.13, No. 11, 1988